

نموذج إحصائي للتنبؤ بكميات إنتاج واستهلاك المياه النقية فى محطات المياه التابعة للشركة القابضة فى مصر بإستخدام أسلوب الدمج بين نموذجي الإلحدار النشط و إلحدار ريدج

د/ هناء حسين على أبو العلا
مدرس بقسم الإحصاء والرياضية والتأمين
كلية التجارة - جامعة عين شمس

مستخلاص

يهدف البحث إلى معالجة مشكلتي الإزدواج الخطى والقيم الشاذة بإستخدام أسلوب الدمج بين نموذجي الإلحدار النشط وإلحدار ريدج على محطات المياه النقية التابعة للشركة القابضة للمياه فى مصر هذا بالإضافة للتنبؤ بإنتاج واستهلاك المياه فى هذه المحطات وذلك من عام 2020 إلى عام 2030 ، وتمت المقارنة بين كل من نموذج الإلحدار المتعدد بطريقة المربيعات الصغرى (OLS) ، Robust Regression ، ونموذج إلحدار Ridge Regression بالإضافة لأسلوب الدمج بينهما Robust Ridge Regression من حيث القدرة التفسيرية والتنبؤية، وتوصلت النتائج إلى أن أفضل نموذج للتنبؤ بكميات المياه المستهلكة فى الشركة القابضة هو نموذج Robust Ridge M Regression حيث ارتفعت قدرته التفسيرية والتنبؤية عن النماذج الأخرى، ووجد أن أهم العوامل المؤثرة على إجمالي كمية المياه المستهلكة (WC_{it}) هي كميات المياه المستهلكة فى الوحدات السكنية (HU_{it})، والمحال التجارية (CS_{it}) والورش والمصانع (WF_{it}) ، وشركات السياحة (TC_{it})، وأماكن أخرى (OP_{it}) هذا بالإضافة إلى فاقد الشبكات (NL_{it}) كما تبين أن

أفضل نموذج للتنبؤ بكميات المياه المنتجة في الشركة القابضة هو نموذج **Robust Ridge MM Regression** حيث ارتفعت قدرته التفسيرية والتنبؤية أيضا ووجد أن أهم العوامل المؤثرة على كمية المياه المنتجة (WP_{it}) بالметр المكعب في محطات المياه التابعة للشركة القابضة هي عدد ساعات التشغيل يوميا (OH_{it})، وعدد أيام التشغيل سنويا (OD_{it})، القدرة الفعلية للمحطة (AC_{it}) ، القدرة التصميمية للمحطة (DC_{it})، وعدد محطات المياه (NS_{it}) .

الكلمات المفتاحية : الموارد المائية ، إنتاج المياه ، استهلاك المياه ، الإزدواج الخطى ، القيم الشاذة ، نموذج إنحدار المربيات الصغرى العادية ، نموذج الإنحدار النشط ، نموذج إنحدار ريدج ، نموذج إنحدار ريدج النشط ، السلسل الزمنية.

Abstract

The research aims to solve multicollinearity and outliers problems using the hybrid approach of the two models of robust regression and ridge regression on pure water stations of the Holding Company for Water in Egypt in addition to forecasting the production and consumption of water in these stations from 2020 to 2030. The multiple regression model using the ordinary least squares (OLS) method was compared with robust regression model , ridge regression model as well as the hybrid approach of robust and ridge regression by using predictability and explanatory ability. the statistical results indicated that the best model for predicting of the quantities of water consumed in the holding company is robust ridge M regression model, where its explanatory and predictive ability is higher than other models. Also it was found that the most important factors affecting of the total amount of water consumed (WC_{it}) are the quantities of water consumed in housing units (HU_{it}), commerical shops (CS_{it}), workshops and factories (WF_{it}), tourism companies (TC_{it}), and other Places (OP_{it}) in addition to networks lost(NL_{it}). It was also found that the best model for predicting by the quantities of water produced in the Holding Company is robust ridge MM regression model, where its explanatory and predictive ability also

increased, and it was found that the most important factors affecting of the amount of water produced (WP_{it}) per cubic meter in the Holding Company water stations are the number of operating hours (OH_{it}) daily , number of operating days (OD_{it}) per year , actual capacity of station (AC_{it}), design capacity of station (DC_{it}), number of water stations (NS_{it}).

Keywords :- Water resources , Water production ,Water consumption, Multicollinearity, Outliers , Ordinary least squares regression model , Robust regression model, Ridge regression model, Robust ridge regression,Time series.

-أولاً : مقدمة الدراسة :

إن الماء هو أساس الحياة وهو أهم مدخلات التنمية الإجتماعية والإقتصادية في العالم وأحد أهم عناصر الإستدامة البيئية ، وتعد المنطقة العربية أحد المناطق الأكثر فقرا في العالم فيما يتعلق بالموارد المائية ، وتسبب ندرة المياه في معظم دول المنطقة العربية تحديات كبيرة لجهود التنمية المستدامة على المستوى الوطني والإقليمي ، وتساهم الزيادة السكانية المطردة والأثار المتوقعة للتغيرات المناخية على المنطقة في زيادة الضغوط على الموارد المائية المحدودة ، وقد تبني المجتمع الدولي مبادئ الإدارة المتكاملة للموارد المائية لمواجهة التحديات المتنامية في قطاع المياه على مستوى العالم وذلك في كافة الجهود لتحقيق التنمية المستدامة وأخرها أجندة التنمية المستدامة حتى عام 2030 والتي تم إقرارها من الجمعية العامة للأمم المتحدة في سبتمبر 2015 ، وتهدف الإدارة المتكاملة للموارد المائية بشكل عام إلى تحقيق الكفاءة الإقتصادية والعدالة الإجتماعية والإستدامة البيئية فيما يتعلق بقطاع المياه، وتفتقر الدول العربية بصفة عامة ومصر بصفة خاصة إلى وجود إستراتيجيات متكاملة للموارد المائية تنسق الجهود بين كافة مؤسسات الدولة على المستوى الوطني لتحقيق التنمية المستدامة (المجلس العربي للمياه ، 2015) [2] .

ثانياً: مشكلة الدراسة :-

إن عدد سكان مصر في تزايد مستمر بينما الموارد المائية من مياه النيل محدودة وهي حوالي 55.5 مليار متر مكعب سنوياً منذ إتفاقية السودان مما أدى ذلك إلى تناقص نصيب الفرد من المياه من حوالي 2000 متر مكعب لكل فرد من عام 1959 إلى حوالي 630 متر مكعب لكل فرد عام 2015 ، ومن المتوقع أن يصل عدد سكان مصر عام 2050 إلى حوالي 150 مليون نسمة مما يعني أن نصيب الفرد من المياه سيقل إلى حوالي 370 متر مكعب لكل فرد سنوياً ، ونلاحظ أن 95% من السكان يعيش على حوالي 5% من المساحة الإجمالية لمصر ويتركز السكان في الدلتا والشريط الضيق حول وادى نهر النيل مما يؤدي إلى كثافات سكانية عالية في تلك المناطق ، وبالتالي كان التفكير في إنشاء عدد من المشروعات القومية التي تعمل على إنشاء تجمعات سكانية جديدة تعمل على توزيع أفضل للسكان وخلق فرص عمل جديدة في كافة المجالات الزراعية والصناعية والسياحية والخدمة أصبح أمر هام وذو ضرورة ملحة ، وتعتمد مصر على مياه النيل كمورد رئيسي للمياه والذي يمثل 97% من الموارد المائية المتعددة في مصر (وزارة الموارد المائية والرى ، 2017) [9] . وطبقاً لاحصائيات الجهاز المركزي للتعبئة العامة والإحصاء وزارة الموارد المائية والرى بلغ إجمالي الموارد المائية المتاحة حوالي 80.25 مليار متر مكعب لعام 2016 / 2017 ، وذلك نتيجة التوسع في استخدام المياه الجوفية ، وإعادة تدوير المياه مرة أخرى وإعادة استخدامها ، وفيما يلى عرض للموارد والإستخدامات المتاحة للمياه في مصر، ونبدأ بعرض هذه الموارد المائية المتاحة من خلال الجدول التالي :-

جدول (1) الموارد المائية المتاحة في مصر طبقاً للمصدر

* (2012-2017) بالمليار متر مكعب سنوياً

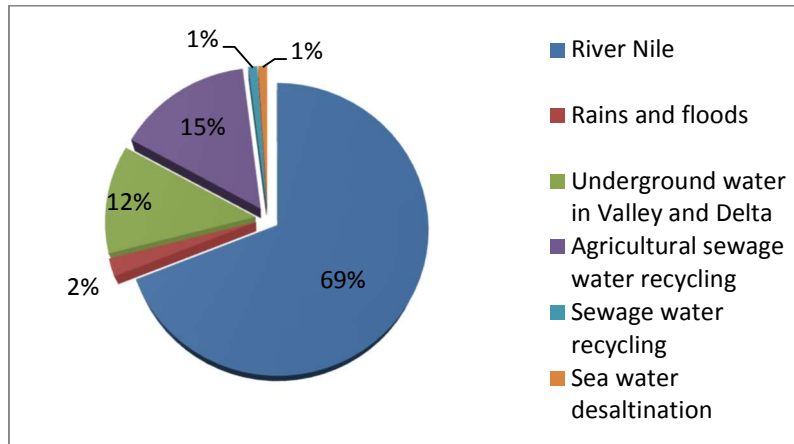
Soure	2012	2013	2014	2015	2016	2017
Share of River Nile (SRN)	55.50	55.50	55.50	55.50	55.50	55.50
Rains and floods (RF)	0.63	0.74	0.90	0.90	0.65	1.30
Underground water in Valley and Delta (UWVD)	7.50	7.70	6.70	6.90	6.90	9.60
Agricultural sewage water recycling (ASWR)	9.17	10.10	11.50	11.70	11.90	12.3
Sewage water recycling (SWR)	1.30	1.30	1.30	1.30	1.20	1.20
Sea water desalination (SWD)	0.06	0.06	0.10	0.10	0.10	0.35
Total	74.20	75.40	76.0	76.40	76.30	80.25

*المصدر : الجهاز المركزي للتعبئة العامة والإحصاء ، وزارة الموارد المائية والرى.

يتضح من الجدول السابق أن حصة مياه نهر النيل (SRN) بلغت 55.5 مليار متر مكعب وهي لم تتغير منذ إتفاقية السودان عام 1959 حتى الآن كما ذكرنا من قبل وتبعد حوالي 69.2 % من إجمالي الموارد المائية المتاحة في مصر عام 2017، ويأتي بعد ذلك الموارد المائية غير التقليدية وأهم مواردها تدوير مياه الصرف الزراعي (ASWR) الذي زادت نسبته من 9.17 مليار متر مكعب عام 2012 حتى وصلت إلى 12.3 مليار متر مكعب عام 2017 وهو ما يعادل 15 % من إجمالي الموارد المائية المتاحة ، وأما عن المياه الجوفية من الوادى والدلتا (UWVD) سواء الضحلة أو العميقة فهي تعد المورد الثالث فقد بلغت حصتها 7.50 مليار متر مكعب عام 2012 ثم زادت حتى وصلت إلى 9.6 مليار متر مكعب عام 2017 وهو ما يعادل 12 % تقريباً من إجمالي الموارد المائية المتاحة عام

2017 ، وأما عن كمية الأمطار والسيول (RF) وهى مصدراً محدوداً ولايعتمد عليه فقد زادت من 0.63 مليار متر مكعب عام 2012 حتى وصلت إلى 1.30 مليار متر مكعب عام 2017 وهو ما يعادل نسبة 2 % تقريباً من إجمالي الموارد المائية المتاحة عام 2017 ويأتى بعده تدوير مياه الصرف الصحى (SWR) وكانت نسبته 1.3 مليار متر مكعب عام 2012 ثم انخفضت إنخفاضاً طفيفاً حتى وصلت إلى 1.2 مليار متر مكعب عام 2017 وهو ما يعادل نسبة 1 % من إجمالي الموارد المائية المتاحة عام 2017 وأخيراً جاء مورد تحلية مياه البحر (SWD) فى المرتبة الأخيرة حيث بلغ 0.06 مليار متر مكعب عام 2012 ثم زاد زيادة طفيفة حتى وصل إلى 0.35 عام 2017 وهو ما يعادل 1 % من إجمالي الموارد المائية المتاحة عام 2017 ، ويوضح الشكل البيانى التالى نسب الموارد المائية المتاحة فى مصر

كمائى : -



شكل (1) التوزيع النسبي للموارد المائية المتاحة فى مصر عام 2017 وأما عن الإستخدامات المائية المتاحة فى مصر فى الفترة من 2012 حتى 2017 تظهر من الجدول رقم (2) كمائى:-

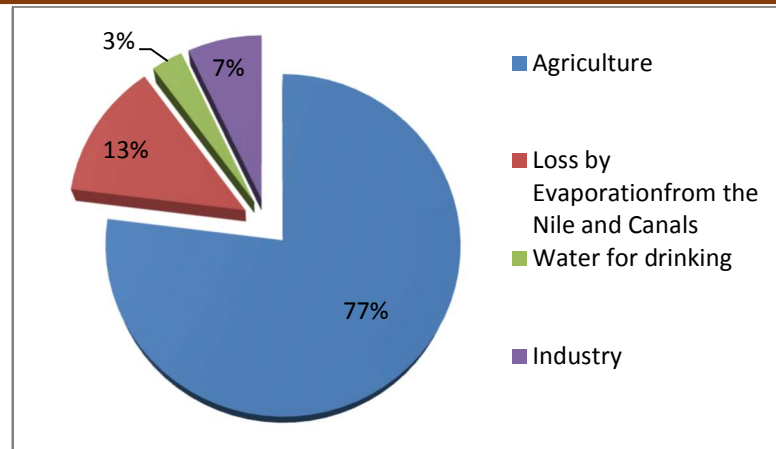
جدول (2) الإستخدامات المائية في مصر طبقاً للمصدر

(2012-2017) * بالمليار متر مكعب سنوياً

Source	2012	2013	2014	2015	2016	2017
Agriculture (Agr.)	61.10	62.10	62.35	62.35	62.15	61.65
Loss by Evaporation from the Nile (NC) and Canals	2.20	2.50	2.50	2.50	2.50	2.50
Water for drinking (WD)	9.60	9.70	9.95	10.35	10.45	10.70
Industry (Indus.)	1.20	1.20	1.20	1.20	1.20	5.40
Total	74.10	74.10	75.50	76.0	76.30	80.25

*المصدر: الجهاز المركزي للتعبئة العامة والإحصاء ، وزارة الموارد المائية والرى.

يتضح من الجدول السابق أن الزراعة هي المستهلك الرئيسي للمياه في مصر (Agr.) حيث بلغت 61.1 مليار متر مكعب عام 2012 ثم زادت حتى وصلت إلى 61.6 مليار متر مكعب عام 2017 وهو ما يعادل 77 % من إجمالي الاستخدامات المائية المتاحة في مصر عام 2017 ، وأما عن كمية مياه الشرب (WD) فتأتي في المرتبة الثانية حيث بلغت 9.6 مليار متر مكعب عام 2012 ثم زادت حتى وصلت إلى 10.70 مليار متر مكعب عام 2017 وهو ما يعادل 13% من إجمالي الاستخدامات المائية المتاحة في مصر عام 2017 ثم جاءت كمية المياه المستهلكة في قطاع الصناعة في المرتبة الثالثة(Indus.) حيث بلغت حصتها 1.20 مليار متر مكعب عام 2012 ثم زادت حتى وصلت إلى 5.40 مليار متر مكعب عام 2017 وهو ما يعادل 7 % من إجمالي الاستخدامات المائية المتاحة عام 2017 وأخيراً جاءت كمية التبخر من النيل والترع (NC) في المرتبة الرابعة فقد زادت من 2.2 مليار متر مكعب عام 2012 حتى وصلت إلى 2.5 مليار متر مكعب عام 2017 وهو ما يعادل نسبة 3% من إجمالي الاستخدامات المائية المتاحة عام 2017، ويوضح الشكل البياني نسب الاستخدامات المائية المتاحة في مصر كمالي :-



شكل (2) التوزيع النسبي لاستخدامات المائية المتاحة في مصر عام 2017 يتضح من العرض السابق أن تنمية الموارد المائية وترشيد إستهلاكها أصبح ضرورة حتمية لتلبية احتياجات مصر الحالية والمستقبلية. لذلك تهدف الدراسة الحالية إلى بناء النماذج الإحصائية اللازمة لتقدير العوامل المؤثرة على دوال إنتاج وإستهلاك المياه في محطات المياه النقية التابعة للشركة القابضة للمياه في مصر وذلك في الفترة من عام 2000 حتى 2019 ، ثم التنبؤ بدوال الإنتاج والإستهلاك في الفترة من 2020 حتى 2030 وستقتصر الدراسة على محطات المياه النقية للشركة القابضة للمياه نظراً لتوافر بيانات عنها في الفترة المحددة للدراسة ومع العلم أن هناك أنواع أخرى من محطات المياه في مصر منها ما يتابع هيئة قناة السويس وأخرى تتبع هيئة المجتمعات العمرانية الجديدة وثالثة تتمثل في محطات مياه الصرف الصحي التابعة للشركة القابضة للمياه وهذه المحطات لن يتم استخدامها في الدراسة الحالية لعدم توافر بيانات كاملة عنها ، ثم يقوم الباحث بعد ذلك بإجراء المقارنة بين نموذج إنحدار المربعات الصغرى العادية (OLS) ونموذج الإنحدار النشط Robust Ridge Regression ، ونموذج إنحدار ريدج Ridge Regression بالإضافة لأسلوب الدمج Robust Ridge Regression ومعرفة أيهم يملك أعلى قدرة تفسيرية

وتتبؤية لدوال إنتاج وإستهلاك المياه فى الشركة القابضة فى الفترة من 2020 وحتى 2030، وتهدف الدراسة أيضاً لاختبار مدى صحة الفروض التالية :-

(1) لا توجد علاقة ذات دلالة إحصائية معنوية بين إجمالي كمية إستهلاك المياه فى الشركة القابضة (WC_{it}) Water Consumption وبين كل من كمية المياه الموزعة على كل مایلى : (الوحدات السكنية (HU_{it}) ، المحال التجارية (CS_{it}) ، الورش والمصانع Workshops ، وشركات السياحة $Tourist Companies$ ، وشركات الصناعة (WF_{it}) Networks ، وأماكن أخرى (TC_{it}) ، فاقد الشبكات Lost (NL_{it}) كمتغيرات مستقلة .

(2) لا توجد علاقة ذات دلالة إحصائية معنوية بين إجمالي كمية المياه المنتجة Operation Hours (OH_{it}) و وبين كل من (عدد ساعات التشغيل (WP_{it}) يوميا ، عدد أيام التشغيل (OD_{it}) سنويا ، القدرة الفعلية Capacity Design (AC_{it}) للمحطة ، القدرة التصميمية Actual Capacity) ، عدد المحطات (NS_{it}) (Number of Stations) كمتغيرات مستقلة .

(3) إن نموذج الدمج Robust Ridge Regression أفضل للتنبؤ بكميات المياه المنتجة والمستهلكة في محطات المياه النقية في الشركة القابضة من نموذج إتحاد المربعات الصغرى العادية (OLS) ، ونموذج الإتحاد النشط Ridge Regression .

(4) يتوقع حدوث زيادة في إستهلاك محطات المياه النقية في الشركة القابضة للمياه في مصر وإنخفاض المعرض منها خلال فترة التنبؤ . سوف تعتمد الدراسة في الحصول على بياناتها من خلال المجالات الاقتصادية والنشرات الإحصائية والتقارير التي تصدرها الجهات التالية (الجهاز المركزي للتعبئة العامة والإحصاء ، وزارة الموارد المائية والرى) .

ثالثا : الدراسات السابقة :-

تناول الدراسات السابقة أهم الدراسات النظرية والتطبيقية التي طبقت على نموذج إلحادار ريدج Ridge Regression ونموذج الإلحادار النشط Robust Ridge Regression والنماوج الناتج عن الدمج بينهما Robust Regression وذلك بغض حل مشكلة الإزدواج الخطى والقيم الشاذة كمالي :-
(1) تعتبر دراسة (Holland, 1973) [19] هي أول دراسة قدمت مدخلاً لتقدير دالة الإلحادار الخطى المتعدد فى ظل وجود مشكلة الإزدواج الخطى والقيم الشاذة من خلال استخدام إلحادار ريدج المرجح بأوزان نموذج إلحادار M النشط ، وتوصلت الدراسة إلى قدرة هذا النموذج على حل مشكلة الإزدواج الخطى والقيم الشاذة معاً من خلال خفض معامل تضخم التباين Variance Inflation factor (VIF) لمعاملات الإلحادار المقدرة والحصول على مقدرات غير متحيزة .

(2) إقترح دراسة (Hoerl et al., 1975) [18] بأخذ الوسط التوافقى Harmonic Mean لمعلمة ريدج المعتمدة وهو (\hat{K}_{HKB}) ، كما استخدمت دراسة Bayesian [23] (Lawless and Wang , 1976) المدخل البيزى Approach فى تقديم مقدر جديد لمعلمة ريدج وهو (\hat{K}_{LW}) وذلك لحل مشكلة الإزدواج الخطى والحصول على معلمة تحيز جديدة لكي تعطى نتائج أفضل لمقدرات نموذج الإلحادار الخطى .

(3) قامت دراسة (Askin & Montgomery, 1980) [11] بالمقارنة بين عائلة من المقدرات التي تجمع بين مقدرات نموذج إلحادار Robust Regression وكل من مقدرات نموذج إلحادار ريدج Ridge Regression ومقدر Stein ونموذج المكونات الرئيسية Principal Components، وقد تبين من النتائج أن أفضل نموذج لعلاج مشكلة الإزدواج الخطى في المتغيرات المستقلة هو نموذج Ridge Regression لأنه يحقق إرتفاع في القدرة التفسيرية لنموذج الإلحادار الخطى عن باقى النماذج الأخرى .

- (4) قدمت دراسة (Pfaffenberger & Dielman 1984) [27] مقدراً جديداً يجمع بين خصائص مقدر الإنحدار النشط وهو مقدر الإثارات المطلقة الصغرى (Least Absolute Deviations) (LAD) مع مقدر ريدج وهو مقدر Hoerl & Kennard (\hat{K}_{HB}) .
- (5) قدمت دراسة (Nomura, 1988) [24] مقدراً جديداً لمعلمة إنحدار ريدج المعتم (K_{NO}) كما قدمت أيضاً صيغة جديدة للمقدر في إنحدار ريدج العادي وذلك بأخذ الوسط التوافقي للصيغة المعتممة (\hat{K}_{NO}) .
- (6) إقترحت دراسة (Kibria , 2003) [22] ثلاثة مقدرات جديدة لمقدر ريدج المعتم (\hat{K}_{HB}) والتي قدمها كل من Horel and Kennard وهذه المقدرات تتمثل فيأخذ الوسط الحسابي (\hat{K}_{KAM}) والوسط الهندسي (\hat{K}_{KGM}) والوسيل (\hat{K}_{KGM}) لصيغة مقدر ريدج المعتم ، وتوصلت الدراسة إلى أن المقدرين (\hat{K}_{KAM}) ، (\hat{K}_{KGM}) كان لهما أداءً جيداً وعلى قدم المساواة وأنهما أفضل من مقدر (\hat{K}_{HB}) ، ووجد أيضاً أن مقدر (\hat{K}_{KGM}) كان الأفضل من بين كل المقدرات المقترحة مما يعطي نتائج أفضل في حل مشكلة الإزدواج الخطى .
- (7) قامت دراسة (Khalaf and Shukur , 2005) [21] بتعديل معلمة (Firinguetti, 1999) [14] المعتممة وقدمت بدلاً منها مقدر جديد وهو (\hat{K}_{KS}) ، الذي أظهرت نتائج الدراسة أفضليته وخاصة عندما يكون تباين حد الخطأ العشوائي كبيراً وذلك يؤدي لتحسين مقدرات معلمات نموذج الإنحدار الخطى .
- (8) إقترحت دراسة (Habshah and Marina , 2007) [15] مقدر ريدج MM من خلال مزج مقدر MM النشط مع إنحدار ريدج لينتاج مقدر Ridge MM الذي ساعد على حل مشكلة الإزدواج الخطى والقيم الشاذة معاً .
- (9) قامت دراسة (جود & كمال ، 2009) [3] بالمقارنة بين عدة طرق لتقدير معالم الإنحدار الخطى وذلك عند وجود مشاكل الإزدواج الخطى والأخطاء التي لاتتبع التوزيع الطبيعي ومن هذه الطرق طريقة المربيعات الصغرى OLS وإنحدار ريدج ومقدر الإثارات المطلقة الصغرى (LAD) ، Least Absolute Deviations (LAD) ونموذج ريدج الموزون Weighted Ridge ، ومقدر MM النشط ، ومقدر إنحدار

ريჯ المرجح بمقدار **MM** النشط وهو **Ridge MM** ، وتوصلت الدراسة إلى أن طريقة **Ridge MM** هي أفضل طريقة من طرق التقدير الأخرى .

(10) إعتمدت دراسة (شاكر ، 2009) [6] على تقدير نموذج الإنحدار الخطى المتعدد بإستخدام عدة طرق منها طريقة **OLS** وطريقة المربعات الصغرى المرجحة **Weighted Least Squares (WLS)** الدمج بين نموذج **WLS** ونموذج **M** النشط وهو نموذج إنحدار **Robust M** وذلك لمعالجة أثر القيم الشاذة فى بيانات نموذج الإنحدار ثم تمت المقارنة بينهم جمياً بإستخدام معيار متوسط مربعات الخطأ **Mean Squares Error** ، وتوصلت الدراسة إلى أن أسلوب الدمج بين نموذج **WLS** ونموذج **M** النشط هو أكفاء نموذج فى تقدير معلمات نموذج الإنحدار الخطى وبدققة عالية فى ظل وجود القيم الشاذة فى كل من قيم المتغيرات المستقلة والتابعة .

(11) هدفت دراسة (داود ، 2010) [5] إلى معرفة أثر وجود بعض القيم الشاذة على نتائج تحليل الإنحدار الخطى وقد تم الكشف عن وجود القيم الشاذة بطريقة الرسم الصندوقى **Box Plot** وتم علاجها بواسطة طريقة الوسط الحسابي المبتور **Trimmed mean** ، وتوصلت الدراسة إلى عدة نتائج أهمها إن وجود القيم الشاذة فى بعض المتغيرات أثر سلباً على نتائج تحليل الإنحدار حيث أنها قللـت من قيمة **F** المحسوبة ، وكذلك قيمة معامل التحديد **R²** وزادت من قيمة متوسط مربعات الخطأ **MSE** وذلك مقارنة مع نتائج التحليل الجيدة التى ظهرت عقب التخلص من أثر القيم الشاذة الموجودة فى بيانات متغيرات النموذج .

(12) قامت دراسة (حسن & رضا 2011) [4] بالبحث عن أنسـب نموذج إنحدار خطى متعدد لتمثيل بيانات الألواء الجوية بدراسة أهم العوامل المؤثرة فى الرطوبة النسبية ، ولتحقيق هـدف الـدراسـة تـمت المـقارـنة بين طـرـيقـة **OLS** وطرق الإنـحدـار النـشـط فـى حالـة وجـود الـقيـم الشـاذـة وـمنـها طـرـيقـة مـرـبـعـات الـوسـيـط الصـغـرى **Least Median Squares(LMS)**

Least Trimmed Squares (LTS) وتوصلت الدراسة إلى أن طريقة مربعات الوسيط الصغرى (LMS) هي أفضل طريقة لتمثل بيانات حالة الطقس.

(13) إعتمدت دراسة (الشيخ ، 2011) [1] على استخدام نموذج إنحدار ريدج في حل مشكلة الإزدواج الخطى دون اللجوء لحذف المتغيرات المستقلة المتسببة في حدوث هذه المشكلة وطبقت الدراسة على دالة الإنفاق الإستهلاكى ، وتوصلت الدراسة إلى أن مقدرات نموذج إنحدار ريدج Ridge Regression أفضل من مقدر إنحدار المربعات الصغرى العادية OLS .

(14) هدفت دراسة (طه ، 2014) [7] إلى معالجة مشكلة الإزدواج الخطى باستخدام نموذج إنحدار ريدج وطبقت الدراسة على شركة النيل الأزرق للطباعة والتغليف من عام 1986 الى 2010 ، وتوصلت النتائج إلى أن قيمة ثابت التحiz $k=0.0900$ هي القيمة المثلثى التى من شأنها أن تزيل مشكلة الإزدواج الخطى والتى بلغ عامل تضخم التباين عندها 1.322، وقد تبين أيضاً أن قيم الخطأ المعياري فى إنحدار ريدج أقل من قيم الخطأ المعياري تبعاً لطريقة OLS .

(15) إقترحت دراسة (Pati et al., 2014 & 2016) [25 & 26] دمج مقدر ريدج مع مقرى الإنحدار النشط WLS, LTS لإنتاج مقدرات ريدج النشطة ، كما إقترحت دراسة (Adegoke et al, 2016) [10] بدمج مقدر ريدج مع بعض المقدرات النشطة وهى مقدرات S , LTS , MM , M وذلك لتشكيل مقدرات ريدج النشطة وتوصلت الدراسة إلى حل مشكلة الإزدواج الخطى والقيم الشاذة ورفع القدرة التفسيرية لنموذج الإنحدار وخفض عامل تضخم التباين لمعاملات الإنحدار المقدرة.

(16) إقترحت دراسة (قاروصة ، 2019) [8] ثالث مقدرات جديدة من مقدرات إنحدار ريدج النشط وذلك لعلاج مشكلة الإزدواج الخطى وظهور القيم الشاذة معاً وهى مزيج من مقدر جديد مقترن من مقدرات ريدج مع ثلاثة مقدرات نشطة وهى المربعات الصغرى المشتبهة (LTS) ، ومقدر MM ومقدر الإنحرافات المطلقة الصغرى

(LAD)، وبيّنت النتائج أن المقدرات الناتجة عن الدمج بين مقدرات ريدج ومقدرات الإحدار النشط تعطي أفضل النتائج في حل مشكلة الأزدوج الخطى والمشاهدات الشاذة معاً عن النماذج الأخرى.

أما عن الدراسة الحالية تختلف عن الدراسات السابقة في إنها ستقوم بعدد مقارنة

بين ست مقدرات لنموذج الإحدار الخطى المتعدد وهي ،

Robust MM ,HKB Ridge, Robust Ridge M, Robust Ridge MM

وإختيار أفضلها من حيث القدرة التفسيرية و التنبؤية لنموذج الإحدار الخطى ، هذا بالإضافة بأنه لم توجد دراسة من الدراسات السابقة طبقت هذه المقدرات معاً وقامت بإختيار أفضلها للتنبؤ بانتاج واستهلاك المياه النقية في محطات المياه التابعة للشركة القابضة للمياه في مصر .

رابعا : منهجهة الدراسة وتحليل البيانات

(1/4) نموذج انحدار المربعات الصغرى العادية Ordinary Least Squares

يعد نموذج الإحدار الخطى المتعدد هو أحد النماذج الإحصائية الالزامية لدراسة العلاقة بين المتغير التابع (Y) وعدد من المتغيرات المستقلة (X) والتي يأخذ نموذجها الشكل التالي:-

$$Y_i = \beta_0 + \beta_1 X_{i1} + \beta_2 X_{i2} + \dots + \beta_k X_{ik} + \varepsilon_i \quad i = 1, 2, \dots, n \quad (1)$$

حيث يعبر Y_i عن المتغير التابع ، X^S تمثل المتغيرات المستقلة، $(\beta_0, \beta_1, \beta_2, \dots, \beta_k)$ تعبّر عن معاملات الإحدار، ε_i تعبّر عن الخطأ العشوائي للمشاهدة رقم $i = 1, 2, \dots, n$ ، وحيث أن n تمثل عدد المشاهدات ويمكن حساب مقدر $\hat{\beta}$ بطريقة OLS باستخدام المصفوفات من المعادلة التالية:

$$\hat{\beta}_{LS} = (X^T X)^{-1} X^T Y \quad (2)$$

حيث أن $(X'X)$ تمثل مصفوفة معاملات الإرتباط البسيطة بين كل زوج من المتغيرات المستقلة ، ويمثل المتجه $(X'Y)$ معاملات الإرتباط بين المتغير التابع وكل متغير مستقل وكما يمكن حساب تباين مقدر المربعات الصغرى من المعادلة التالية:-

$$MSE(\hat{\beta}_{LS}) = Cov(\hat{\beta}_{LS}) = \sigma^2(X'X)^{-1} \quad (3)$$

وفي الواقع العلمي نلاحظ أن هناك مشاكل عديدة في نموذج الإنحدار الخطى ومنها مشكلة الإزدواج الخطى Multicollinearity بين المتغيرات المستقلة ومشكلة المشاهدات الشاذة Outliers التي توجد في بيانات المتغيرات التابعة والمستقلة ، وتؤدى مشكلة الإزدواج الخطى إلى تضخم في تباينات مقدرات معاملات الإنحدار (Habshah and Marina, 2007) [15] وبالتالي لكي يتم تخفيض هذه التباينات نستخدم نموذج إنحدار ريدج والذي يحسن من دقة تقديرات معاملات الإنحدار باستخدام طريقة OLS [33] (Samkar & Aplu ,2010)

2/4) نموذج انحدار ريدج Ridge Regression Model

يعتبر مقدر إنحدار ريدج [16 & 17] (Hoerl & Kennard, 1970 a & b) هو الأكثر شيوعا واستخداما في التعامل مع مشكلة الإزدواج الخطى وهو يهدف إلى تقليل حجم تباين تقديرات المربعات الصغرى عن طريق إدخال كمية ضئيلة من التحيز، ويأخذ المقدر الصيغة العامة التالية :-

$$\hat{\beta}_{GR} = (X'X + KI)^{-1} X'Y \quad (4)$$

حيث $0 \leq K$ تسمى معلمة ريدج Ridge أو معلمة التحيز Bais Parameter وعندما تكون K مساوية للصفر فإن مقدر ريدج يصبح هو نفسه مقدر OLS ويأخذ متوسط مربعات خطأ مقدر ريدج $MSE(\hat{\beta}_R)$ المعادلة التالية :-

$$MSE(\hat{\beta}_R) = \sigma^2 \sum_{i=1}^p \frac{\lambda_i}{(\lambda_i + k)^2} + k^2 \beta' (X' X + kI_p)^{-2} \beta \quad (5)$$

حيث λ_i هي القيم المميزة **Eigen Values** للمصفوفة $(X' X)$ وعلى الرغم من أن مقدر ريدج هو مقدر متغير ، إلا أنه عند قيمة معينة K يكون له أقل قيمة MSE مقارنة بمقدر **OLS** ومع ذلك فإن $MSE(\hat{\beta}_R)$ يعتمد على المعالم (σ^2, β, k) والتي لا يمكن حسابها عمليا وبالتالي يجب تقيير المعلمة (K) من البيانات المشاهدة والتي تعتمد علىأخذ الوسط التوافقي **Harmonic Mean** لمعلمة ريدج المعممة (Horel et. al. , 1975) وتأخذ معادلته الشكل التالي:-

$$\hat{K}_{HKB} = \frac{ps^2}{\sum_{i=1}^p \hat{\alpha}_i^2} = \frac{ps^2}{\sum_{i=1}^p \hat{\beta}_i^2} = \frac{ps^2}{\hat{\beta}' \hat{\beta}} \quad (6)$$

حيث تمثل $\hat{\alpha}, \hat{\beta}$ مقدرات **OLS** لمتجهات المعالم α, β ويصبح كذلك s^2 هو مقدر **OLS** لنبيان حد الخطأ العشوائي والذي يأخذ الشكل التالي مع المعالم $\hat{\alpha}, \hat{\beta}$:-

$$s^2 = (Y - X\hat{\alpha})' (Y - X\hat{\alpha}) / (n - p) \quad (7)$$

$$s^2 = (Y - X\hat{\beta})' (Y - X\hat{\beta}) / (n - p) \quad (8)$$

أما عن المشكلة الثانية التي يمكن أن تواجه نموذج الإنحدار الخطى هي وجود المشاهدات الشاذة في المتغيرات التابعه والمستقله وهي المشاهدات التي تتحرف عن علاقه الإنحدار الموقفة بغالبية البيانات (Rousseuw & Leroy, 1987) [32] وهي تبدو غير متسقة مع بقية المشاهدات ، وغالبا ما توجد المشاهدات الشاذة في البيانات لأسباب كثيرة منها أخطاء في القياس أو تجميع البيانات من مجتمعات مختلفة (Barnett & Lewis, 1994) [12] وهي تؤدي لوجود تقديرات متغيرة مع تضخم في تباينات مقدرات معاملات الإنحدار أو المتغير التابع المقدر ، أو يمتد أثرها لتضخيم كليهما معا (Chatterjee & Handi, 2006) [13] وللتغلب على مشكلة المشاهدات الشاذة يتم استخدام نموذج الإنحدار لأن مقدراته تتميز بأنها أقل تأثرا بالقيم الشاذة من مقدر **OLS** .

(3) نموذج الإنحدار النشط Robust Regression Model

قد أشار (Ronchetti, 1987) [29] إلى أن الهدف من استخدام نموذج الإنحدار النشط هو اختيار النموذج الذي يوفق غالبية البيانات مع الأخذ في الإعتبار أن الأخطاء قد لا تتبع التوزيع الطبيعي المعتدل ، وقد تم إقتراح العديد من مقدرات الإنحدار النشط ومنها مقدر Robust M و مقدر Robust MM ومقدار LTS ومقدار LAD، ومقدار المربعات الوسيطية الصغرى [30 & 31] (Rousseeuw, 1984 & 1985) ومقدار Robust S (LMS) وستقتصر الدراسة الحالية على تطبيق مقدار Robust M و Robust MM على نموذج الإنحدار الخطى لأنهما من أفضل مقدرات نموذج الإنحدار النشط ويتم توضيح طريقة حسابهما كما يلى :-

- قدم (Huber, 1972a) [20] مقدر Robust M Reg. ويتم به حساب تقديرات النموذج بواسطة تخفيض مجموع حاصل ضرب الأخطاء العشوائية مرجحا بدالة الأوزان Huber Function ويحسب المقدر كما يلى :-

$$\hat{\beta}_M = \min_{\beta} \sum_{i=1}^n \rho(r_i) \quad (9)$$

كما قدم (Yohai , 1987) [34] مقدر Robust MM ، وهو أكثر إنتشارا لأنه أكثر المقدرات مقاومة لمشاهدات الشاذة في إتجاه كل من متغير التابع والمتغيرات المستقلة . ويرجع الاسم MM إلى استخدام مقدر M في أكثر من مرحلة لحساب التقديرات النهائية ، ويتم الحصول على مقدر MM على عدة مراحل وتنتهي إلى الحصول على النهاية الصغرى المطلقة لمالي:-

$$L(\hat{\beta}_{MM}) = \sum_{i=1}^n \rho_1 \left(\frac{r_i}{\hat{\sigma}_{(0)}} \right) x_i = 0 \quad (10)$$

وعندما توجد مشكلة الإزدواج الخطى والقيم الشاذة معا فى نموذج الإنحدار يكون من الأفضل استخدام نموذج الدمج إنحدار ريدج النشط Robust Ridge Reg. كما يتضح فى النقاط التالية .

(4/4) نموذج إنحدار ريدج النشط Robust Ridge Regression Model

إقترح (Pafaffenberger & Dielman, 1985) [28] بدمج مقدر إنحدار ريدج مع مقدر M النشط لينتاج مقدر Robust Ridge M Reg.

$$\hat{\beta}_{RRM} = (X'X + K_M I)^{-1} X'Y \quad (11)$$

وتأخذ \hat{K}_M الصيغة التالية :-

$$\hat{K}_M = \frac{ps_M^2}{\hat{\beta}'_M \hat{\beta}_M} \quad (12)$$

حيث أن $\hat{\beta}_M$ هو مقدر M النشط لمتجه الإنحدار ($\hat{\beta}, S^2_M$) وحيث أن :-

$$S^2_M = \frac{(Y - X\hat{\beta}_M)'(Y - X\hat{\beta}_M)}{(n-p)} \quad (13)$$

كما إقترح (Habshah & Marina, 2007) [15] بدمج مقدر ريدج مع مقدر النشط لينتاج مقدر Robust Ridge MM Reg. ويأخذ الصيغة التالية :-

$$\hat{\beta}_{RMM} = (X'X + K_{MM} I)^{-1} X'Y \quad (14)$$

وتأخذ \hat{K}_{MM} الصيغة التالية :-

$$\hat{K}_{MM} = \frac{ps_{MM}^2}{\hat{\beta}'_{MM} \hat{\beta}_{MM}} \quad (15)$$

حيث أن $\hat{\beta}_{MM}$ هو مقدر MM النشط لمتجه الإنحدار ($\hat{\beta}, S^2_{MM}$) وحيث أن :-

$$S^2_{MM} = \frac{(Y - X\hat{\beta}_{MM})'(Y - X\hat{\beta}_{MM})}{(n-p)} \quad (16)$$

ومن الجدير بالذكر أن \hat{K}_M ، \hat{K}_{MM} هما نفسهما كما يتضح فى المعادلتين (11 ، 14) مع وجود اختلافين هما استخدام مقدار M ، MM فى تقدير متجه

المعالم β بدلاً من مقدر OLS ثم يتم تعديل S^2 بإستخدام تقديرات M ، MM بدلاً من إستخدام تقديرات OLS كما يتضح في المعادلتين (13 ، 16)، وتهدف هذه التغييرات إلى تخفيض تأثير المشاهدات الشاذة على القيمة المختارة لمعلمة ريدج .

(5 / 4) الدراسة التطبيقية للنماذج الإحصائية

يتضمن هذا الجزء تطبيق النماذج الإحصائية حيث نبدأ بتقدير وتقييم نموذج الإحدار الخطى المتعدد بطريقة OLS ثم إجراء الاختبارات التشخيصية للنموذج ثم نقوم بالكشف عن مدى وجود مشكلة الإزدواج الخطى والقيم الشاذة فى بيانات دوال الإنتاج والإستهلاك لكميات المياه النقية فى محطات المياه التابعة للشركة القابضة ولتحليل البيانات سيتم استخدام برنامجي (Eviews10, NCSS7.1). تتمثل دالة إستهلاك المياه النقية فى المتغير التابع وهو إجمالي كمية المياه المستهلكة (WC_{it}) بالметр المكعب والمتغيرات المستقلة التى تتمثل فى كميات المياه المستهلكة فى الوحدات السكنية (HU_{it}) ، والمحال التجارية (CS_{it}) ، والورش والمصانع (WF_{it}) ، وشركات السياحة (TC_{it}) ، وأماكن أخرى (OP_{it}) بالإضافة إلى فاقد الشبكات (NL_{it}) وتأخذ دالة إستهلاك المياه الشكل التالى : -

$$WC_{it} = HU_{it} + CS_{it} + WF_{it} + TC_{it} + OP_{it} + NL_{it} + \varepsilon_{it} \quad (17)$$

وتتمثل دالة إنتاج المياه فى المتغير التابع وهو إجمالي كمية المياه المنتجة (WP_{it}) بالметр المكعب والمتغيرات المستقلة تتمثل فى العوامل المؤثرة على كمية إنتاج المياه فى الشركة القابضة وهى عدد ساعات التشغيل بالمحطة يوميا (OH_{it}) ، وعدد أيام التشغيل بالمحطة سنويا (OD_{it}) ، القدرة الفعلية للمحطة (AC_{it}) ، القدرة التصميمية للمحطة (DC_{it}) ، عدد المحطات (NS_{it}) ، وتأخذ دالة إنتاج المياه الشكل التالى: -

$$WP_{it} = OH_{it} + OD_{it} + AC_{it} + DC_{it} + NS_{it} + \varepsilon_{it} \quad (18)$$

(1/5/4) تقدیرات نموذج الاتحدار لدالة استهلاك المياه النقية .

يوضح الجدول رقم (3) نتائج تقدیرات نموذج المربعات الصغرى العادية كمايلي :-

جدول (3) نتائج تقدیرات نموذج OLS لدالة استهلاك المياه النقية

Variable	Coeff.	Std. Error	T - stat	Prob.	VIF
C	1516613	461316	3.288	0.006	-
CS	12.392	2.856	4.339	0.001	6.119
HU	1.025	0.761	1.348	0.201	2.941
NL	-0.870	0.388	-2.241	0.043	6.889
OP	2.173	0.766	2.835	0.014	2.278
TC	0.814	1.209	0.673	0.513	3.086
WF	3.564	1.168	3.051	0.009	3.590
R-squared	0.949	Mean dep.var.		6E+06	
Adjusted R- Squ.	0.9165	SD. dep.var.		2E+06	
S.E. of reg.	566592	Akaike inf. crit.		29.602	
Sum squ. resid.	4E+12	Schwarz crit.		29.95	
Log likelihood	-289.02	Hannan-Qui.cr.		29.67	
F-statistic	35.775	Durb.-Wat.stat		2.0666	
Prob(Fstatistic)	0.000				

- يوضح الجدول السابق أنه توجد علاقة معنوية بين إجمالي كمية المياه المستهلكة (WC_{it}) بالمتر المكعب و كل من كميات المياه المستهلكة في المحال التجارية (CS_{it}) و الورش والمصانع (WF_{it}) ، وفائد الشبكات (NL_{it}) . والاماكن الأخرى (OP_{it}) ،
- توجد علاقة معنوية للنموذج ككل حيث بلغت قيمة (F) المحسوبة 35.78 وقيمة P-Value أقل من 5 % وبلغت قيمة معامل التحديد (0.943)، وهو مايعكس ارتفاع القدرة التفسيرية للنموذج وهذا يعني أن المتغيرات المستقلة التي يتضمنها النموذج تفسر نسبة 94.3 % من التغيرات التي تحدث في المتغير التابع وأن 5.7 % من التغيرات يرجع لعوامل أخرى منها الخطأ العشوائي .

- يتضح من الجدول رقم (3) أيضا خلو النموذج المقدر من الإرتباط الذاتي حيث بلغت قيمة إحصاء Durbin-Watson حوالي 2.07 ونلاحظ من الجدول السابق أيضا أن قيم معامل تضخم التباين VIF لجميع المتغيرات المستقلة أقل من 10 وبالتالي لا يوجد إزدواج خطى بين المتغيرات المستقلة .
- يوضح الجدول رقم (4) الإختبارات التشخيصية للنموذج حيث يوضح إختبار Breusch-Godfrey LM Test أنه لا يوجد مشكلة الإرتباط الذاتي بين الباقي كما أوضحته إختبار ديرين واتسن (DW) حيث كانت قيمة Prob.Chi-Sq.(2) Obs*R-squared تساوى 1.078 وأن قيمة 0.5834 تساوى 0.5834 وهى أكبر من 5% مما يعنى قبول فرض عدم الذى يؤكى عدم وجود إرتباط ذاتى بين الباقي .

جدول (4) إختبارات الإرتباط الذاتى وعدم ثبات التباين والطبيعة للباقي

Breusch-Godfrey Serial Correlation LM Test :

F-statistic	0.313235	Prob. F(2,11)	0.7374
Obs*R-squared	1.077661	Prob. Chi-Square(2)	0.5834

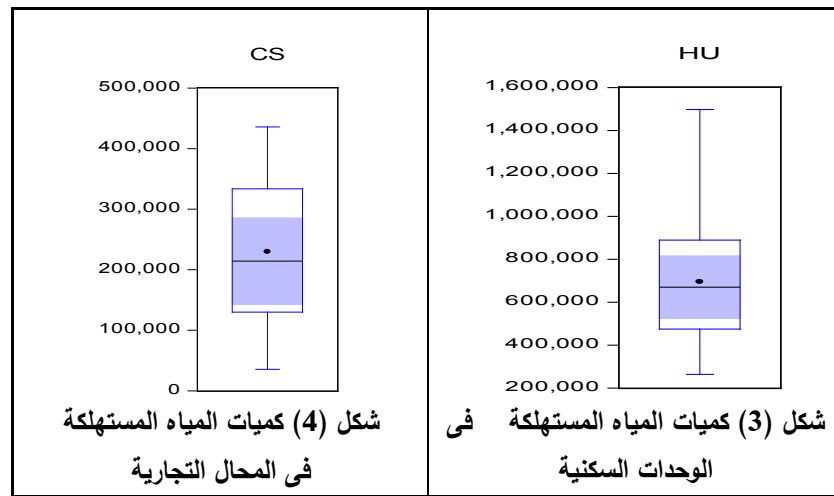
Heteroskedasticity Test: Breusch-Pagan-Godfrey

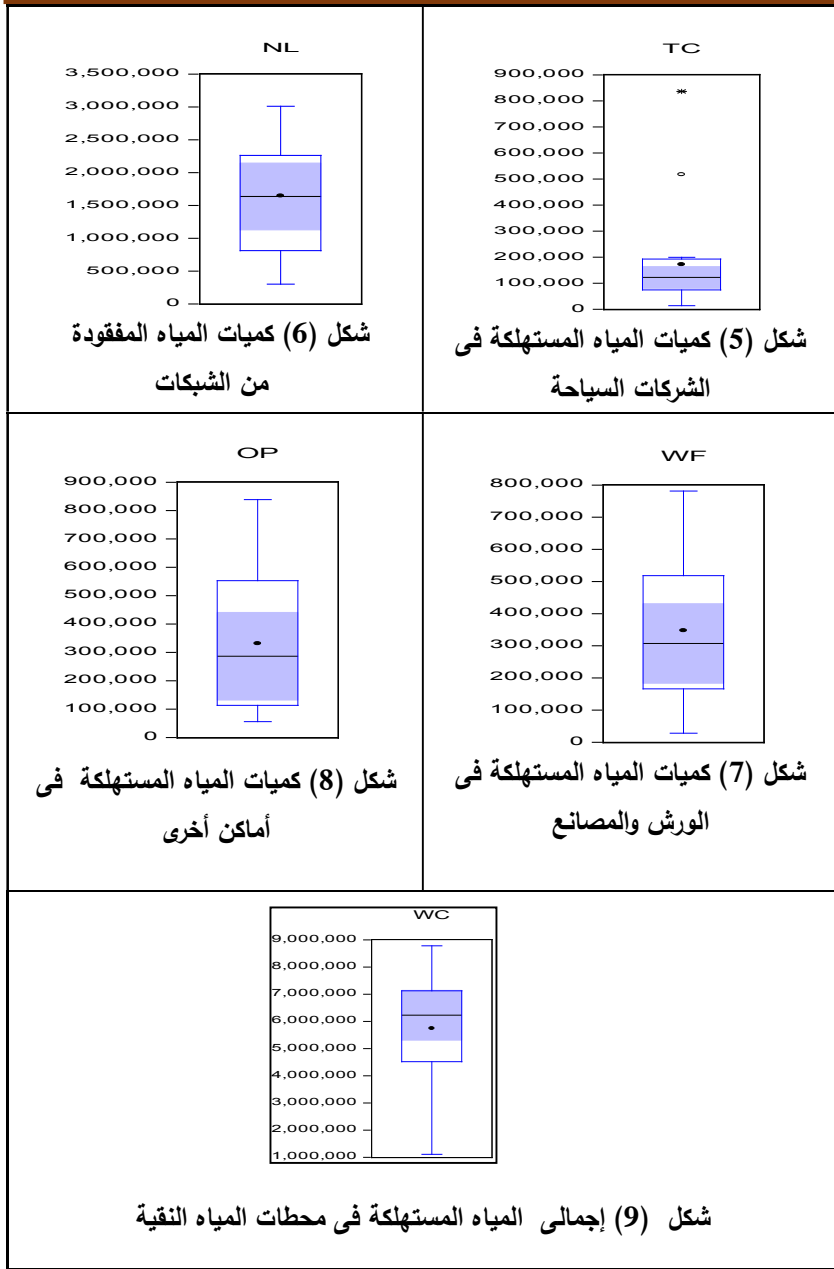
F-statistic	1.145352	Prob. F(6,13)	0.3907
Obs*R-squared	6.916337	Prob. Chi-Square(19)	0.3287
Scaled expla.SS	3.758819	Prob. Chi-Square(19)	0.7093
Normality Test			
Jarque – Bera	1.143605	Prob.obs(20)	0.56451

- كما يبين جدول(4) نتائج إختبار Breusch-Pagan-Godfrey بأن النموذج المقدر لا يواجه مشكلة عدم ثبات التباين بين الباقي حيث كانت قيمة Prob. Chi-Sq.(2) Obs*R-squared تساوى 6.916 وأن قيمة 0.3287 تساوى 0.3287 وهى أكبر من 5% مما يعنى قبول فرض عدم الذى يؤكى عدم وجود مشكلة عدم ثبات التباين للباقي ، وكذلك يبين الجدول السابق نتائج إختبار " Jarque – Bera " والذى يوضح أن سلسلة الباقي للنموذج المقدر

لا تتبع التوزيع الطبيعي حيث بلغت قيمة اختبار $JB = 1.144$ وكانت قيمة $P-Value$ تساوى 0.56451 وهى أعلى من 5% .

- أما عن وجود القيم الشاذة وكيفية إكتشافها فمن خلال الأشكال البيانية التالية وي استخدام الرسم الصندوقى Box Plot فقد تبين وجود قيمتين شاذتين فى بيانات شركات السياحة (TC_{it}) كما يظهر فى الشكل رقم (3) الذى سيؤدى لوجود تقديرات متحيزه وتضخم فى تباينات المقدرات معاملات الإلحدار الأمر الذى يلزم معه استخدام مقدرات نماذج الإلحدار النشط وإنحدار ريدج وذلك لإزالة أثر القيم الشاذة على البيانات وتحسين جودة توفيق النموذج والحصول على مقدرات غير متحيزه ، أما عن المتغيرات الباقيه المتمثلة فى إجمالي كمية المياه المستهلكة (WC_{it}) وكمية المياه المستهلكة فى كل من الوحدات السكنية (HU_{it}) والمحال التجارية (CS_{it})، والورش والمصانع (WF_{it}) ، والأماكن الأخرى (OP_{it}) بالإضافة إلى فاقد الشبكات (NL_{it}) فلا يوجد بها أى قيم شاذة كما توضخه باقى الأشكال التالية :-





يوضح الجدول رقم (5) مقارنة لمقدرات دالة إستهلاك المياه وذلك بإستخدام طريقة المربعات الصغرى العادية OLS ومقدرات نموذج الإنحدار النشط ونموذج إنحدار ريدج وأسلوب الدمج بين نموذجي الإنحدار النشط وإنحدار ريدج كمالي: -
جدول (5) مقارنة مقدرات دالة إستهلاك المياه الفنية بإستخدام نماذج

(OLS,Robust M ,Robust MM, Ridge,Rob.Ridge M, Rob.Ridge MM)

Variable	Const.	CS	HU	NL	OP	TC	WF
OLS							
Coff.	1516613	12.39	1.025	-0.87	2.173	0.814	3.564
P.value	0.006	0.001	0.201	0.043	0.014	0.513	0.009
Robust M Reg.							
Coff.	2008030	13.20	0.509	-0.976	2.1589	0.7654	3.3796
P.value	0.000	0.000	0.314	0.000	0.000	0.342	0.000
Robust MM Reg.							
Coff.	2409684	13.33	0.31	2.295	2.295	1.071	3.512
P.value	0.000	0.000	0.471	0.000	0.000	0.117	0.000
Ridge							
Coff.	1522037	12.07	1.024	-0.812	2.1233	60.72	3.576
P.value	0.000	0.000	0.200	0.000	0.000	0.510	0.000
Robust Ridge M Reg.							
Coff.	2008438	12.83	0.519	-0.915	2.105	0.6773	3.4078
P.value	0.000	0.000	0.000	0.000	0.000	0.000	0.000
Robust Ridge MM Reg.							
Coff.	16689	16.31	2.943	-1.205	1.184	0.639	4.275
P.value	0.000	0.000	0.000	0.000	0.000	0.200	0.000
	OLS	Robust M	Robust MM	Ridge	Robust Ridge M	Robust Ridge MM	
F-test	35.78	447.6	579.8	33.03	391.6	366.7	
Prob. (F-Stat)	0.000	0.000	0.000	0.000	0.000	0.000	
R ²	90.94	0.856	0.769	0.9384	0.995	0.994	
RMSE	456801	486142	563495	588249	164116	214996	

يوضح الجدول السابق مقارنة بين العديد من مقدرات نماذج الإتحاد ، وقد تبين أن أفضل نموذج معنوي له أعلى قدرة تفسيرية وتنبؤية هو نموذج Robust Ridge MM Regression وتبيّن منه مايلي :-

- أن هناك علاقة معنوية بين إجمالي كمية المياه المستهلكة في محطات المياه النقية (WC_{it}) وبين كل من كميات المياه المستهلكة في الوحدات السكنية (HU_{it}) ، والمحال التجار (CS_{it}) ، والورش والمصانع(WF_{it}) ، وشركات السياحة (HU_{it}) ، والأماكن الأخرى (OP_{it}) بالإضافة لفائد الشبكات (NL_{it}) كما يلى :-

$$WC_{it} = 2008438 + 12.83CS_{it} + 0.519HU_{it} - 0.915NL_{it} + 2.105OP_{it} + 0.677TC_{it} + 3.408WF_{it} \quad (19)$$

- توجد علاقة معنوية للنموذج ككل حيث بلغت قيمة (F) المحسوبة 391.6 وقيمة P-Value أقل من 5 % وبلغت قيمة معامل التحديد (0.995) ، وهو يعكس إرتفاع القدرة التفسيرية للنموذج ويعنى أن المتغيرات المستقلة التي يتضمنها النموذج تفسر نسبة 99.5 % من التغيرات التي تحدث في المتغير التابع وأن 0.5 % من التغيرات يرجع لعوامل أخرى منها الخطأ العشوائى ، كما تبيّن من النموذج أيضاً أن له أعلى قدرة تنبؤية ويُوضح ذلك من معيار RMSE والتي بلغت قيمته 164116 ، وبالتالي يصلح هذا النموذج في للتنبؤ بكميات المياه المستهلكة في الشركة القابضة للمياه من عام 2020 حتى عام 2030

(2/5/4) تقديرات نموذج الإتحاد لدالة إنتاج المياه النقية .

يوضح الجدول رقم (6) نتائج تقديرات نموذج المربيات الصغرى العادية OLS لدالة إنتاج المياه النقية والذي يبيّن أنه توجد علاقة معنوية بين إجمالي كمية المياه المنتجة في محطات المياه (WP_{it}) بالметр المكعب و عدد محطات المياه النقية (NS_{it}) التابعة للشركة القابضة للمياه .

جدول (6) نتائج تقديرات نموذج OLS لدالة إنتاج المياه النقية

Variable	Coeff.	Std. Err.	T-Stat.	Prob.	VIF
C	-1.2E+07	4708210	-2.47394	0.0268	-
AC	41.56691	20.82817	1.995706	0.0658	2.0633
DC	5.491984	2.747156	1.999153	0.0654	1.1475
NS	2202.807	399.0095	5.520688	0.0001	6.0030
OD	27659.95	20675.79	1.337794	0.2023	3.5722
OH	241821.1	284797.5	0.849098	0.4101	12.880
R-Squared	0.919881	Mean Depend. Var.		6797547	
Adj. R Squ.	0.891267	S.D. Dependent var		2445222	
S.E.of Regr.	806305.2	Akaike Info.		30.28164	
Sum Squ. Res.	9.10E+12	Criterion		30.58036	
Log Likelih.	-296.816	Schwarz Criterion		30.33995	
F-Statistic	32.14792	Hannan-Quinn		2.024806	
Prob(F-stat)	0.000	Criter.			
		Durbin-Watson stat			

- يوضح الجدول السابق معنوية نموذج الإلحدار ككل حيث بلغت قيمة (F) المحسوبة 32.15 وقيمة P-Value أقل من 5 % ، كما بلغت قيمة معامل التحديد (0.919) وهو يعكس ارتفاع القدرة التفسيرية للنموذج ويعنى أن المتغيرات المستقلة تفسر نسبة 92 % تقريباً من التغيرات التي تحدث في المتغير التابع وأن 8 % من التغيرات ترجع لعوامل أخرى منها الخطأ العشوائى.
- يتضح من الجدول رقم (6) أيضاً خلو النموذج المقدر من الإرتباط الذاتي للباقي حيث بلغت قيمة إحصاء Durbin -Watson حوالى 2.03 ، كما نلاحظ من الجدول السابق أن قيم معامل تضخم التباين VIF لجميع المتغيرات المستقلة أقل من 10 فيما عدا متغير عدد ساعات التشغيل للمحطة (OH) حيث بلغ معامل تضخم التباين 12.88 وهو أعلى من 10 ممايعنى وجود مشكلة الإزدواج الخطى بين المتغيرات المستقلة .

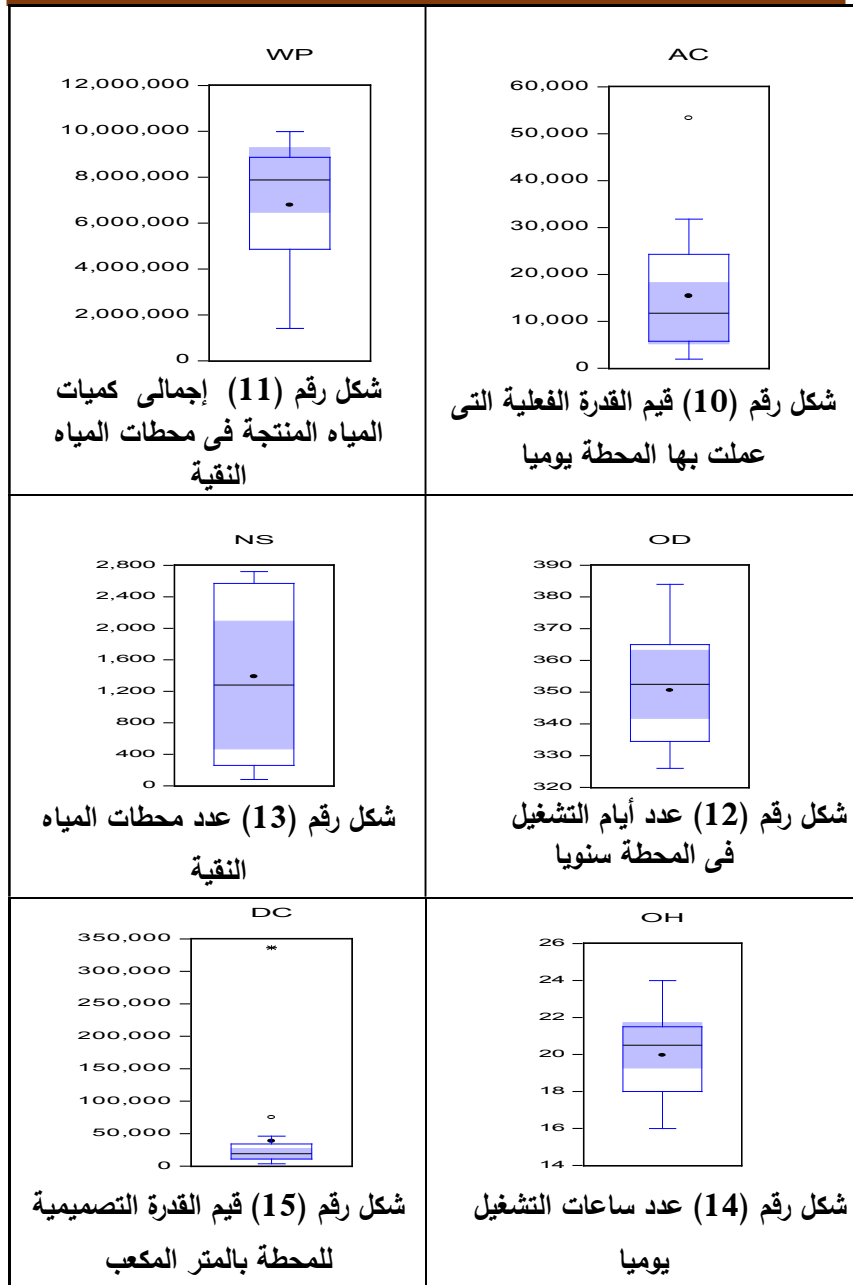
- يوضح جدول(7) الإختبارات التشخيصية الذى تبين فيها عدم وجود مشكلة الإرتباط الذاتى بين الباقي ويوضح ذلك من نتيجة إختبار Breusch حيث كانت قيمة Obs*R-squared تساوى 2.081 Godfrey LM Test بقيمة محسوبة(2) Prob.Chi-Sq. تساوى 0.3533 مما يعني قبول فرض العدل الذى يؤكد عدم وجود إرتباط ذاتى بين الباقي .

جدول(7) إختبارات الإرتباط الذاتى وعدم ثبات التباين والطبيعة للباقي

Breusch-Godfrey Serial Correlation LM Test :

F-Statistic	0.696798	Prob. F(2,12)	0.5173
Obs*R-squared	2.080988	Prob.Chi-Square(2)	0.3533
Heteroskedasticity Test: Breusch-Pagan-Godfrey			
F-Statistic	0.319541	Prob. F(5,14)	0.893
Obs*R-Squared	2.04864	Prob. Chi-Square(5)	0.8424
ScaledExplained SS	1.895811	Prob.Chi-Square(5)	0.8634
Normality Test	10.02074	Prob.Obs.(20)	0.0067
Jarque – Bera			

كما يبين جدول (7) نتائج إختبار Breusch-Pagan-Godfrey بأن النموذج المقدر لا يواجه مشكلة عدم ثبات التباين بين الباقي Heteroskedasticity حيث كانت قيمة Obs*R-squared تساوى 2.049 بقيمة محسوبة (5) Prob.Chi-Sq. تساوى 0.8634 وكذلك يبين الجدول السابق نتائج إختبار " Jarque – Bera " الذى يوضح أن سلسلة الباقي للنموذج المقدر لا تتبع التوزيع الطبيعي حيث بلغت قيمة إختبار JB = 10.02 بقيمة محسوبة P- Value تساوى 0.0067 ، ويرجع ذلك لوجود القيم الشاذة فى البيانات فى كل من متغير القدرة الفعلية للمحطة (AC_{it}) ، ومتغير القدرة التصميمية (DC_{it}) والتى يجب إزالتها باستخدام نموذج الإحدار النشط ، أما متغير إجمالي كمية المياه النقية المنتجة (WP_{it}) وباقى المتغيرات المستقلة مثل عدد ساعات التشغيل يوميا فى المحطة (OH_{it}) ، عدد أيام التشغيل (OD_{it}) ، عدد محطات المياه النقية (NS_{it}) تخلو من القيم الشاذة ويتضح ذلك من الأشكال البيانية التالية :-



يتضح من النتائج السابقة والأشكال البيانية وجود مشكلتي الإزدواج الخطى والقيم الشاذة فى بعض البيانات الأمر الذى يؤدى لوجود تضخم فى تباينات مقدرات معالم النموذج الأمر الذى يستخدم مقدرات نماذج الإنحدار النشط وريدج ونماذج الدمج بينهما لمعالجة هاتين المشكلتين معا .

جدول (8) مقارنة مقدرات دالة إنتاج المياه النقية بإستخدام نماذج (OLS, Robust M ,Robust MM, Ridge,Rob.Ridge M, Rob.Ridge MM)

Variable	Const.	AC	DC	NS	OD	OH
OLS						
Coff.	-1 E+07	41.5669	5.492	2202.81	27660	241821
P.value	0.027	0.066	0.065	0.000	0.202	0.410
Robust M Reg.						
	-9510398	45.0524	4.92861	2247.011	15504	350112
Coff.	0.009	0.005	0.019	0.000	0.328	0.109
Robust MM Reg.						
Coff.	-5998677	40.0287	4.73483	2102.5	8104	319007
P.value	0.080	0.008	0.018	0.000	0.590	0.123
Ridge						
Coff.	-1.1E+07	40.4873	5.5139	2128.99	29594	195054
P.value	0.000	0.000	0.000	0.000	0.000	0.410
Robust Ridge M Reg.						
Coff.	-9142074	43.614	4.96	2163	71804	293936
P.value	0.000	0.000	0.000	0.000	0.000	0.000
Robust Ridge MM Reg.						
Coff.	-5668570	38.679	4.765	2024	10554	265967
P.value	0.000	0.000	0.000	0.000	0.000	0.000
OLS Robust Robust Rob. Rob. Rid.						
	M	MM	Ridge	Rob.	Ridge M	MM
F-test	32.148	257.50	259.43	29.78	391.14	410.9
Prob. (F-Stat)	0.000	0.000	0.000	0.000	0.000	0.000
R²	0.920	0.859	0.776	.914	.9929	0.9932
RMSE	674603	698213	736683	835129	223423	207474

يوضح الجدول (8) مقارنة مقدرات دالة إنتاج المياه النقية بإستخدام نماذج (OLS, Robust M ,Robust MM,Ridge, Rob.Ridge M, Rob. Ridge MM) وقد تبين من الجدول أن أفضل نموذج معنوي له أعلى قدرة تفسيرية وتنبؤية هو نموذج **Robust Ridge MM Regression** وتبيّن منه أن هناك علاقة معنوية بين إجمالي كمية المياه المنتجة بالметр المكعب (WP_{it}) و عدد ساعات التشغيل يوميا (OH_{it}) ، وعدد أيام التشغيل سنويا (OD_{it}) ، والقدرة الفعلية للمحطة (AC_{it}) ، و القدرة التصميمية للمحطة(DC_{it}) ، وعدد المحطات(NS_{it})، وتأخذ دالة إنتاج المياه الشكل التالي : -

$$WP_{it} = -5668570 + 38.679AC_{it} + 4.765DC_{it} + 2024NS_{it} + 10554OD_{it} + 265967OH_{it} \quad (20)$$

كما يوجد علاقة معنوية للنموذج ككل حيث بلغت قيمة (F) المحسوبة 410.9 وأن مستوى المعنوية أقل من 5 % كما بلغت قيمة معامل التحديد(0.993) مما يعني أن المتغيرات المستقلة تفسر نسبة 99.3 % من التغيرات التي تحدث في المتغير التابع وأن 0.7 % من التغيرات يرجع لعامل آخر منها الخطأ العشوائى ، ووجد أيضاً أن قيمة ثابت التحييز التي تزيل مشكلة الإزدواج الخطى $K = 0.005$ ، كما تبيّن أن النموذج له أعلى قدرة تنبؤية وتبيّن ذلك من معيار RMSE والتي بلغت قيمته 207474 ، وبالتالي يصلح هذا النموذج للتنبؤ بكميات المياه المنتجة في الشركة القابضة لمياه الشرب من عام 2020 حتى عام 2030 .

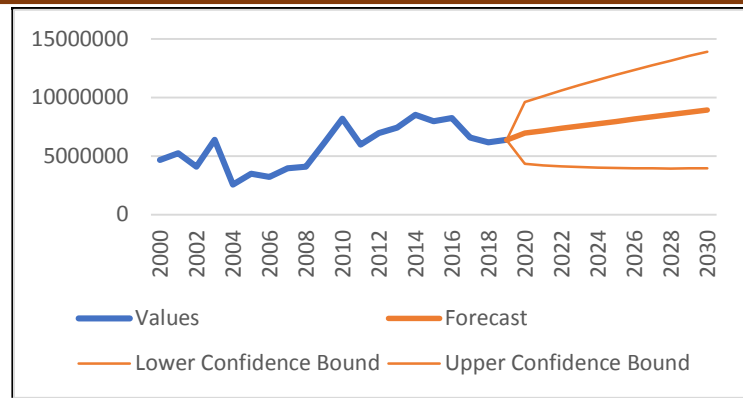
(٤ / ٦) التنبؤ

يوضح الجدول رقم (9) القيم التنبؤية وفترات الثقة لكميات المياه المستهلكة والمنتجة في محطات المياه النقية التابعة للشركة القابضة للمياه في مصر وذلك في الفترة من 2020 إلى 2030 على النحو التالي :-

جدول (9) القيم التنبؤية لإجمالي كميات المياه المستهلكة والمنتجة في محطات المياه النقية التابعة للشركة القابضة للمياه في مصر

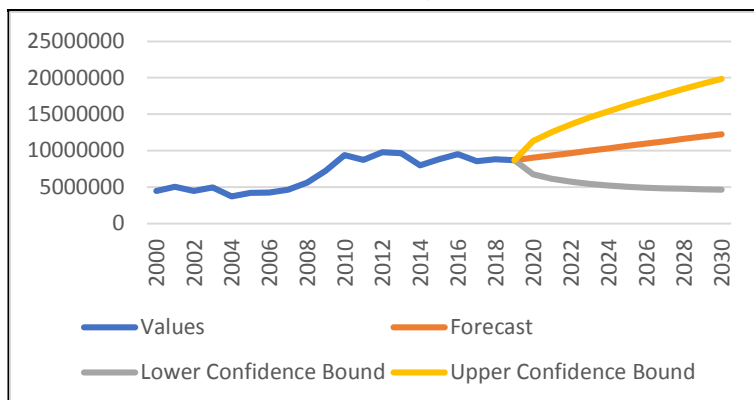
Year	Water Consumed (WC _{it})			Water Produced (WP _{it})		
	Forecast	LCL	UCL	Forecast	LCL	UCL
2020	6963429	4321013	9605846	9025881	6745126	11306635
2021	7161419	4205925	10116914	9349427	6125565	12573288
2022	7359409	4119883	10598936	9672973	5723906	13622039
2023	7557399	4055809	11058989	9996519	5435009	14558029
2024	7755389	4009089	11501689	10320064	5218100	15422029
2025	7953379	3976516	119302423	10643610	5052265	16234956
2026	8151369	3955755	12346984	10967156	4925080	17009232
2027	8349359	3945044	12753674	11290702	4828452	17752952
2028	8547349	3943016	13151683	11614248	4756762	18471734
2029	8745339	3948582	13542097	11937794	4705917	19169671
2030	8943329	3960860	13925799	12261340	4672832	19849847

يتضح من الجدول السابق أنه بإستخدام القيم المقدرة من نموذج Robust Ridge M Regression في الفترة من عام 2000 حتى عام 2019 يمكننا التنبؤ بإجمالي كميات المياه المستهلكة في محطات المياه النقية من عام 2020 حتى عام 2030 بإستخدام السلسل الزمنية والتي يوضحها الجدول رقم (9) وحيث يتضح من الجدول أنه من المتوقع زيادة كميات المياه المستهلكة من 6963429 متر مكعب عام 2020 حتى تصل إلى 8943329 متر مكعب عام 2030 ويمكن تمثيل هذه القيم التنبؤية في الشكل البياني التالي :-



شكل (16) القيم التنبؤية ل الكميات المائية المستهلكة في محطات المياه النقية

يتضح من الجدول (9) أيضا أنه بإستخدام القيم المقدرة من نموذج Robust Ridge MM Regression في الفترة من عام 2000 حتى عام 2019 يمكننا التنبؤ بإجمالي كميات المياه المنتجة من عام 2020 حتى عام 2030 والتي يوضحها الجدول رقم (9) حيث يبين أنه من المتوقع زيادة كميات المياه المنتجة من 9025881 متر مكعب عام 2020 حتى تصل إلى 12261340 متر مكعب عام 2030 ، ويمكن تمثيل هذه القيم التنبؤية كما في الشكل البياني التالي :-



شكل (17) القيم التنبؤية ل الكميات المائية المنتجة في محطات المياه النقية

خامساً : النتائج والتوصيات

قامت الدراسة الحالية بدراسة العوامل المؤثرة على كميات المياه المستهلكة والمنتجة في محطات المياه النقية التابعة للشركة القابضة للمياه في الفترة من عام 2000 إلى 2019 وذلك بهدف الوصول إلى أفضل نموذج للتنبؤ بانتاج واستهلاك المياه في هذه الشركة في الفترة من 2020 إلى عام 2030 وقد تمت المقارنة بين كل من نموذج المربعات الصغرى العادية (OLS) ، ومقدرات نموذج الإنحدار النشط Ridge Regression، ومقدرات نموذج Robust Ridge Regression بالإضافة لأسلوب الدمج بين النماذجين Robust Ridge Regression وذلك من حيث القدرة التفسيرية والتنبؤية ، وقد قامت الدراسة على اختبار أربع فروض إحصائية وكانت النتائج كما يلى :-

(1) رفض الفرض الأول لأن نموذج Robust Ridge M Regression

قد بين أن هناك علاقة ذات دلالة إحصائية معنوية بين إجمالي كمية استهلاك المياه في الشركة القابضة (WC_{it}) وبين كمية المياه المستهلكة في الوحدات السكنية (HU_{it})، والمحال التجارية (CS_{it}) ، والورش والمصانع (WF_{it}) ، وشركات السياحة (TC_{it})، وأماكن أخرى (OP_{it}) هذا بالإضافة لفائد الشبكات (NL_{it})

(2) رفض الفرض الثاني لأن نموذج Robust Ridge MM Regression

قد بين أن هناك علاقة ذات دلالة إحصائية معنوية بين إجمالي كمية المياه المنتجة بالметр المكعب (WP_{it}) وبين عدد ساعات التشغيل يوميا (OH_{it}) ، وعدد أيام التشغيل في المحطة (OD_{it})، والقدرة الفعلية للمحطة (AC_{it}) ، و القدرة التصميمية لها (DC_{it}) بالإضافة إلى عدد المحطات (NS_{it}) .

- (3) قبول الفرض الثالث وهو أن نموذج الدمج **Robust Ridge Regression** هو أفضل نموذج للتنبؤ بكميات إنتاج وإستهلاك المياه النقية وذلك لارتفاع قدرته التفسيرية والتنبؤية عن نموذج المربعات الصغرى العادية (OLS) ، ونموذج الإنحدار النشط **Ridge Regression** ، ونموذج إنحدار ريدج **Robust Regression**
- (4) رفض الفرض الرابع الذي يتوقع حدوث زيادة في كميات إستهلاك المياه في الشركة القابضة للمياه في مصر وإنخفاض كميات المياه المنتجة خلال فترة التنبؤ وذلك لأن نتائج الدراسة قد بينت أنه من المتوقع أن تكون هناك زيادة في كميات المياه المستهلكة والمنتجة معاً في محطات المياه النقية في الشركة القابضة .
- (5) طبقاً لنتائج الدراسة يوصي الباحث بإستخدام نموذج إنحدار ريدج النشط **Robust Ridge Regression** في التنبؤ بكميات المياه المستهلكة والمنتجة في الشركة القابضة في المستقبل لارتفاع قدرته التنبؤية عن النماذج الأخرى .
- (6) نظراً لما أظهرته النتائج أيضاً من حدوث زيادة في إستهلاك المياه في الشركة القابضة في الفترة المستقبلية فمن الضروري التحول من ثقافة وفرة المياه التي كانت سائدة في مصر إلى ثقافة ندرة المياه والتي أصبحت واقعاً ، ولذلك يجب العمل على وجود مزيد من حملات التوعية الإعلامية بهدف تقليل من العوامل المسببة لها والتي أظهرت الدراسة معنويتها ألا وهي كميات المياه المستهلكة في كل من الوحدات السكنية (HU_{it}) والمحال التجارية (CS_{it}) والورش والمصانع (WF_{it}) ، وشركات السياحة (TC_{it}) ، والأماكن الأخرى (OP_{it}) وفائد الشبكات(NL_{it}) وذلك لمدى أهميتها بالنسبة للمجتمع ككل .

(7) يجب على الشركة القابضة والشركات التابعة لها القيام بتجديد شبكات المياه القديمة وصيانتها بصورة دورية لتقليل فاقد الشبكات (NL_{it}) والإستفادة منه في المستقبل .

(8) بينت نتائج الدراسة زيادة كميات المياه المنتجة في محطات المياه في المستقبل ومن ثم يجب الحفاظ على العوامل المسيبة لذلك والتي أظهرت النتائج معنويتها إلا وهي عدد ساعات التشغيل يوميا (OH_{it}) ، وعدد أيام التشغيل سنويا (OD_{it})، والقدرة الفعلية التي تعمل بها المحطة (AC_{it}) ، هذا بالإضافة لقدرة التصميمية لها (DC_{it}) ، وزيادة عدد محطات المياه (NS_{it}) .

(9) ضرورة تضافر جهود كافة المعنيين بقضايا المياه في الدولة ورفع الوعي بتحديات قطاع المياه وكيفية مواجهتها على كافة المستويات السياسية والتنفيذية والشعبية وأن ذلك أصبح ضرورة ملحة وليس خيارا حتى يمكن تحسين كفاءة استخدام الموارد المائية المحدودة في مصر والحفاظ عليها وذلك خصوصاً لمواجهة قضية سد النهضة في أثيوبيا التي قد تؤثر سلباً على إحتياجات مصر في المستقبل .

أولاً : المراجع العربية :-

- (1) الشيخ ، ساوس (2014) . معالجة مشكلة الإزدواج الخطى بإستخدام إتحاد الحرف : دراسة تطبيقية على دالة الإنفاق الإستهلاكى فى الجزائر خلال الفترة 1970 - 2011 ، مجلة الحقيقة ، جامعة أدرار ، الجزائر، العدد 29، ص 34 - 55 .
- (2) المجلس العربى للمياه (2015) . ورشة عمل خبراء التدريب حول دليل إعداد الإستراتيجيات المائية وخطط العمل مع تضمينها تأثير التغيرات المناخية ، ص 14-1 .
- (3) جواد ، نزار مصطفى و كمال ، غفران إسماعيل (2009) . مقارنة طرق تقدير معالم نموذج الإتحاد فى حالة ظهور مشكلة التعدد الخطى والقيم الشاذة ، مجلة العلوم الإدارية والإقتصادية ، العدد (55) ، العراق ، بغداد ، ص 153 - 166 .
- (4) حسن ، تارا أحمد ورضا ، مهدى صابر (2011) . إستخدام الإتحاد الحصين لإيجاد أنساب نموذج لتمثيل بيانات الألواء الجوى فى مدينة أربيل خلال الفترة 1998- 2020 ، مجلة العلوم الإقتصادية والإدارية ، العدد (89) ، الجامعة المستنصرية ، ص 195 - 213 .
- (5) داود ، ألاء عبد الستار (2010) ، تأثير القيم الشاذة ونقطة الأصل على نتائج تحليل الإتحاد ، مجلة تكريت للعلوم المصرفية ، المجلد 15 ، العدد (1)، ص 310 - 319 .

- (6) شاكر ، صالح مؤيد (2009) . تحسين أسلوب M الحصين فى تقدير معلمات نموذج الإنحدار الخطى المتعدد ، المجلة العراقية للعلوم الإحصائية ، العدد . 242 – 219 (16)
- (7) طه ، إمثالي ميرغنى محمد أحمد (2014) . معالجة مشكلة التداخل الخطى المتعدد لشركة النيل الأزرق للتغليف والطباعة بإستخدام إنحدارحرف (1986 – 2010) ، رسالة ماجستير، كلية العلوم ، جامعة السودان للعلوم والتكنولوجيا .
- (8) قاروصة ، أحمد (2019) . دراسة مقارنة لبعض مقدرات إنحدار ريدج المتينة ، مجلة كلية التجارة للبحوث العلمية ، كلية التجارة ، جامعة الإسكندرية ، العدد الأول ، المجلد السادس والخمسون ، يناير ، ص 1-27 .
- (9) وزارة الموارد المائية والرى (2017) . مشروع دعم الخطة القومية للموارد المائية ممول من برنامج الإتحاد الأوروبي لإصلاح قطاع المياه فى مصر ، المرحلة الثانية .
- ثانياً : المراجع الأجنبية :-**
- (10) Adegoke , A.S., Adewuyi , E., Ayinde,K., and Lukman,A.F. (2016) , **A comparative study of some robust ridge and Liu estimators** , Science World Journal , 11, 4 , 16-20 .
- (11) Askin, R.G., and Montgomery,D.C. (1980), **Augmented robust estimators** , Technometrics , 22, PP 333-341.

- (12) Barnett,V., and Lewis , T. (1994) , **Outliers in statistical data**, 3rd ed., Wiley : Chichester, UK .
- (13) Chatterjee, S., and Handi, A.S. (2006), **Regression Analysis by Example** , Wiley : New Jersey.
- (14) Firinguetti,L.(1999), **Generalized ridge regression estimator and its finite Sample properties** , Communications in Statistics: Theory and Methods, 28(5) , 1217 – 1229.
- (15) Habshah ,M., and Marina, z. (2007), **A Simulation study on ridge regression estimators in Presence of outliers and multicollinearity** , Journal Teknologi, Universiti Teknologi Malaysia ,47, 59-74.
- (16) Hoerl , A.E., and Kennard ,R.W.(1970 a), **Ridge regression : Biased estimation for non-orthogonal Problems** , Techno-metrics, 12,55-67.
- (17) Hoerl , A.E., and Kennard ,R.W.(1970 b), **Ridge regression : Application to non-orthogonal Problems** ,Technometrics , 12,69-82.

- (18) Hoerl , A.E., and Kennard , R.W.(1975) , **Ridge regression: some simulations** ,Communications in Statistics ,4, 105-123 .
- (19) Holland, P.W.(1973), **Weighted ridge and robust methods**, BERN Working Paper Series , Working Paper No. 11, PP1-19.
- (20) Huber, P.J.(1972a) , **Robust statistics** , Ann. Math. Statist., 43, 1041 – 1067 .
- (21) Khalaf, G. and Shukur ,G.(2005), **Choosing ridge parameter for regression problem** , Communications in Statistics : Theory and Methods, 34, 1177 – 1182.
- (22) Kibria ,B.M.G.(2003), **Performance of some new ridge regression estimators**, Communications in Statistics : Simulation and Computation, 32, 419 – 435.
- (23) Lawless, J.F., and Wang, P.(1976), **A Simulation study of ridge and other regression estimators**, Communications in Statistics : Theory and Methods , 14, 1589 - 1604 .

- (24) Nomura, M.(1988), **On the almost unbiased ridge regression estimation**, Communications in Statistics : Simulation and computation , 17(3) , 729 - 743 .
- (25) Pati, K.D.,Adanan,R.,Rasheed ,B.A.,and Alias, M.J.(2014), **Ridge least trimmed squares estimators in the presence of multicollinearity and outliers** , Nature Science, 12,12,1-8 .
- (26) Pati, K .D., Adanan,R.,Rasheed ,B.A.,and Alias, M.J. (2016), **Estimation paramerters using bisquare weighted robust ridge regression (BRLTS) estimators in the presence of multicollinearity and outlie** , AIP Conference Proceedings 1750,060-028;doi:10.163/1.4954 633.
- (27) Pfaffenberger, R.C. and Dielman,T.E. (1984), **A modified ridge regression estimators using the least absolute value criterion in the multiple linear regression model**, Proceedings of the American Institute for Decision Sciences, Toronto , 791-793.
- (28) Pfaffenberger,R.C. and Dielman,T.e.(1985). **A Comparison of robust ridge estimators** , Business Economics Sectios Proceedings of the American Statistical Association , 631-635.

- (29) Ronchetti , E.m. (1987). **Robust $C(\alpha)$ -type tests for linear models** , Sankhya. A,49 , 1-16 .
- (30) Rousseeuw,P.J.(1984), **Least median of squares regression**, Journal of the American Statistical Association, 79, 871- 880.
- (31) Rousseeuw , P. J. (1985) , **Multivariate estimation with high breakdown point in Mathematical Statistics and Applications** , B (ed . by W. W . Wertz) , Dordrecht, Netherlands : Reidel Publishing Company , 283-297 .
- (32) Rousseeuw,P. J., and Leroy ,A.M. (1987) , **Robust regression and outlier detection** ,Wiley : New York .
- (33) Samkar , H., and Alpu, O.(2010), **Ridge regression based on some robust estimators** , Journal of Modern Applied Statistical Methods ,9,2, Article 17.
- (34) Yohai, V. J. (1987), **High breakdown point and high efficiency robust estimates for regression** , Ann. Statistics ., 15, 642 – 656 .

